

I-83 合成桁のクリープに関する2, 3の考察

九州大学工学部 正員 山崎徳也

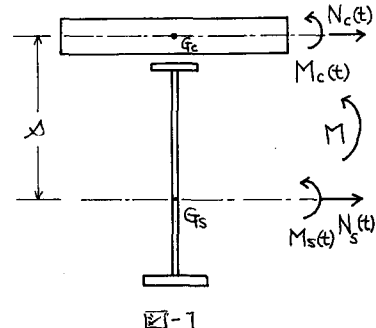
〃 〃 正員 彦坂 駿

〃 〃 学生員 高橋良明

1. 緒言

合成桁に一定の死荷重モーメントが作用する場合、コンクリートストラフのクリープにより合成桁断面内においてはわゆる応力の転位を生じ、コンクリートの応力は減少し鋼桁の応力は増加する。また合成桁においてはコンクリートの自由な乾燥収縮が拘束される結果、クリープと似た応力状態を呈し、しかも乾燥収縮応力自身がクリープを伴うものである。

現行の設計示方書によれば、Whitneyの法則に基づくクリープ係数を材令による補正係数で補正してクリープ応力を近似的に算定することになるが、式中に材令を名んで Antsyunyan 型のクリープ関数を用いて解析すれば、コンクリートのクリープの実体をより忠実に把握した厳密解が得られるはずである。本論文は、ガガルの観点から、Antsyunyan ⁽¹⁾ が鉄筋コンクリートばかりのクリープ解析に用いた手法を拡張応用して合成桁のクリープ応力の近似解および厳密解を導き、既往諸理論による結果と比較検討せんとするものである。なお、紙面の都合上、本論では持続荷重によるクリープを主として取り扱い、乾燥収縮応力については結果のみを示すにとどめる。



2. 基本式の誘導

図-1のごとき全合成桁断面を考え、コンクリートストラフの断面積および断面2次モーメントを A_c, I_c 、その重心を G_c とし、鋼桁の断面積および断面2次モーメントを A_s, I_s 、その重心を G_s とすれば、 G_c と G_s の距離 s も与えられに値となる。この断面に曲げモーメント M が作用するとき、これはコンクリートおよび鋼桁に作用するモーメント M_c, M_s とそれぞれの重心に働く軸力 N_c, N_s に分解され、これら諸力は何れも時間の関数となる。軸力および G_s に関するモーメントの釣合いを考えれば、次の式が得られる。

$$N_c(t) = -N_c(t), \quad M_s(t) = M + N_c(t)s - M_c(t) \quad (1)$$

他方、 G_c および G_s より鉛直下方にそぞぞれ x_c 軸、 x_s 軸をとれば、コンクリートおよび鋼桁の任意点の応力 σ_c, σ_s が次式で求められる。

$$\sigma_c(t) = \frac{N_c(t)}{A_c} + \frac{M_c(t)x_c}{I_c} \quad (2)$$

$$\sigma_s(t) = \frac{N_s(t)}{A_s} + \frac{M_s(t)x_s}{I_s} \quad (3)$$

材令 t_0 のコンクリートが時間的に変化する応力 $\sigma_c(t)$ を受ける場合、任意時刻 t における総ひずみは

$$\epsilon_c(t) = \frac{\sigma_c(t)}{E_c} - \int_{t_0}^t \sigma_c(\tau) \frac{\partial}{\partial t} C(t, \tau) d\tau$$

で与えられ、また鋼筋のひずみは $\epsilon_s(t) = \sigma_s(t)/E_s$ で求められる。ここで E_c, E_s はそれぞれコンクリートおよび鋼筋の弾性係数、 $C(t, \tau)$ は Arutyunyan 型のクリープ関数である。 $C(t, \tau)$ の内容については文献(2)を参照されたい。

平面保持を仮定すれば、すなわち $[\epsilon_c(t)]_{z_c=0} = [\epsilon_s(t)]_{z_s=\infty}$ が成立しなければならない。すなわち

$$\frac{N_c(t)}{E_c A_c} - \int_{\tau_1}^t \frac{N_c(\tau)}{A_c} \frac{\partial}{\partial \tau} C(t, \tau) d\tau = \left\{ \frac{N_s(t)}{A_s} - \frac{M_s(t)}{I_s} \right\} / E_s$$

また、コンクリートと鋼筋との同一回転をなすべき条件より

$$\frac{M_c(t)}{E_c I_c} - \int_{\tau_1}^t \frac{M_c(\tau)}{I_c} \frac{\partial}{\partial \tau} C(t, \tau) d\tau = \frac{M_s(t)}{E_s I_s}$$

上記2式の右辺に式(1)を代入して整理すれば次式が得られる。

$$\left. \begin{aligned} (n I_s + A_c I_s / A_s + \lambda^2 A_c) N_c(t) - \lambda A_c M_c(t) &= -\lambda A_c M + E_s I_s \int_{\tau_1}^t N_c(\tau) \frac{\partial}{\partial \tau} C(t, \tau) d\tau \\ -\lambda I_c N_c(t) + (I_c + n I_s) M_c(t) &= I_c M + E_s I_s \int_{\tau_1}^t M_c(\tau) \frac{\partial}{\partial \tau} C(t, \tau) d\tau \end{aligned} \right\} \quad (4)$$

式(4)において $t = \tau_1$ と置けば、 N_c および M_c の $t = \tau_1$ における初期値が次のとく求められる。

$$\begin{aligned} N_c(\tau_1) &= -\frac{M \cdot n \lambda A_c}{C I_s}, \quad M_c(\tau_1) = M \cdot (n + \frac{A_c}{A_s}) I_s / C I_s \\ \text{ただし, } C &= (n + \frac{I_c}{I_s})(n + \frac{A_c}{A_s}) + \frac{n \lambda^2 A_c}{I_s} \end{aligned} \quad (5)$$

さて、式(4)の両辺を t で 1 回微分して整理すれば、

$$\left. \begin{aligned} (n I_s + \frac{A_c I_s}{A_s} + \lambda^2 A_c) \dot{N}_c(t) - \lambda A_c \dot{M}_c(t) &= E_s I_s \left[\gamma C^{x^2} \int_{\tau_1}^t N_c(\tau) \frac{\partial}{\partial \tau} \{g(\tau) e^{x\tau}\} d\tau - g(t) N_c(t) \right] \\ -\lambda I_c \dot{N}_c(t) + (I_c + n I_s) \dot{M}_c(t) &= E_s I_s \left[\gamma C^{x^2} \int_{\tau_1}^t M_c(\tau) \frac{\partial}{\partial \tau} \{g(\tau) e^{x\tau}\} d\tau - g(t) M_c(t) \right] \end{aligned} \right\} \quad (6)$$

式(6)の両辺をさらに t で 1 回微分し、式(6)との間で積分項を消去すれば、 $N_c(t)$ と $M_c(t)$ に関する所要の基礎微分方程式が得られ、途中演算を省略して結果のみを示せば次のとくである。

$$\left. \begin{aligned} (n I_s + \frac{A_c I_s}{A_s} + \lambda^2 A_c) \ddot{N}_c(t) - \lambda A_c \ddot{M}_c(t) + \gamma \{ (n I_s + \frac{A_c I_s}{A_s} + \lambda^2 A_c) + E_s I_s g(t) \} \dot{N}_c(t) - \lambda A_c \dot{M}_c(t) &= 0 \\ -\lambda I_c \ddot{N}_c(t) + (I_c + n I_s) \ddot{M}_c(t) - \lambda A_c I_c \dot{N}_c(t) + \gamma \{ (I_c + n I_s) + E_s I_s g(t) \} \dot{M}_c(t) &= 0 \end{aligned} \right\} \quad (7)$$

3. 近似解法 I

一般に $M_c(t)$ の時間的変化はかなり小たりゆえにこれを無視して $M_c(t) = \text{const.} = M_c(0)$ と置き近似解を求めてみる。この場合 $\dot{M}_c(t) = \ddot{M}_c(t) = 0$ であるから式(7)の第 1 式より

$$(n I_s + \frac{A_c I_s}{A_s} + \lambda^2 A_c) \ddot{N}_c(t) + \gamma \{ (n I_s + \frac{A_c I_s}{A_s} + \lambda^2 A_c) + E_s I_s g(t) \} \dot{N}_c(t) = 0$$

この微分方程式の解は容易に次のとく求められる。

$$\begin{aligned} N_c(t) &= N_c(0) + \dot{N}_c(0) \int_{\tau_1}^t e^{-\eta(\tau)} d\tau \\ \text{ただし, } \eta(t) &= \gamma \int_{\tau_1}^t \left\{ 1 + \frac{E_s I_s}{n I_s + A_c I_s / A_s + \lambda^2 A_c} g(\tau) \right\} d\tau \end{aligned}$$

また $N_c(t_i)$ は式(5)より、 $\dot{N}_c(t_i)$ は式(6)の式1式で $t=t_i$ と置いて

$$\dot{N}_c(t_i) = -\frac{\gamma E_s I_s g(t_i)}{n I_s + A_c I_s / A_s + \alpha^2 A_c} N_c(t_i)$$

と求められ、結局 $N_c(t)$ が次式で得られることになる。

$$N_c(t) = -M \cdot \frac{n A_c}{C I_s} \left\{ 1 - \frac{\gamma E_s I_s g(t_i)}{n I_s + A_c I_s / A_s + \alpha^2 A_c} \int_{t_i}^t e^{-\gamma(\tau)} d\tau \right\} \quad (8)$$

4. 近似解法Ⅱ

上述の近似解法Ⅰで $M_c(t)$ の時間的変化を全く無視したが、ここではこれを考慮により精度の高い近似解を求めてみる。ここで $M_c(t)$ は $N_c(t)$ に比べて極めて小さく無視できるものとする。したがると式(7)は次のとく簡単になる。

$$\left. \begin{aligned} (n I_s + \frac{A_c I_s}{A_s} + \alpha^2 A_c) \ddot{N}_c(t) + \gamma \left\{ (n I_s + \frac{A_c I_s}{A_s} + \alpha^2 A_c) + E_s I_s g(t) \right\} \dot{N}_c(t) &= 0 \\ n I_s \ddot{M}_c(t) + \gamma n I_s \{1 + E_s g(t)\} \dot{M}_c(t) &= \alpha I_c \{ \ddot{N}_c(t) + \gamma \dot{N}_c(t) \} \end{aligned} \right\} \quad (9)$$

式(9)の式1式は近似解法Ⅰで取り扱ったものと全く同じであるゆえ、 $N_c(t)$ の解は式(8)で与えられることになる。これを式(9)の式2式の右辺に代入して $M_c(t)$ を求めれば、

$$M_c(t) = M_c(t_i) + \int_{t_i}^t C^{-\gamma(\tau)} \left[M_c(t_i) + \frac{\alpha I_c}{n I_s} \int_{t_i}^{\tau} \{ \dot{N}_c(\tau) + \gamma \ddot{N}_c(\tau) \} C^{\gamma(\tau)} d\tau \right] d\tau \quad (10)$$

$$\text{ここで } \gamma(\tau) = \gamma \int_{t_i}^{\tau} \{1 + E_s g(\tau)\} d\tau$$

また $M_c(t_i)$ は式(5)通り、 $\dot{M}_c(t_i)$ は式(6)の式2式で $t=t_i$ と置いて

$$\dot{M}_c(t_i) = \frac{\alpha I_c \dot{N}_c(t_i)}{n I_s} - \gamma E_s g(t_i) M_c(t_i)$$

と求められる。

5. 厳密解法

本題の合成応答のクリープの厳密解を求めるためには、式(7)の連立2階常微分方程式を解かねばならない。いま $\alpha \dot{N}_c(t) = y_1(t)$ 、 $\dot{M}_c(t) = y_2(t)$ と置けば、 $\alpha \ddot{N}_c(t) = y_1'(t)$ 、 $\ddot{M}_c(t) = y_2'(t)$ となるゆえ、式(7)を $y_1(t)$ 、 $y_2(t)$ に関する2元連立1次方程式と見て解けば、次の連立1階常微分方程式が得られる。

$$\left. \begin{aligned} C y_1'(t) + P_1(t) \cdot y_1(t) + Q_1(t) \cdot y_2(t) &= 0 \\ C y_2'(t) + P_2(t) \cdot y_1(t) + Q_2(t) \cdot y_2(t) &= 0 \end{aligned} \right\} \quad (11)$$

$$\text{ただし、 } P_1(t) = \gamma C + \gamma(n + \frac{I_c}{I_s}) E_s g(t), \quad Q_1(t) = \gamma \alpha^2 A_c E_s g(t) / I_s$$

$$P_2(t) = \frac{\gamma I_c E_s g(t)}{I_s}, \quad Q_2(t) = \gamma C + \gamma(n + \frac{A_c}{A_s} + \frac{\alpha^2 A_c}{I_s}) E_s g(t)$$

文献(2)によると、式(11)の解は古典的応積法を用いて容易に求められ、結果のみ示せば次のとくである。

$$N_c(t) = N_c(\tau_1) + \frac{1}{\lambda_1 - \lambda_2} [\lambda_1 \{N_c(\tau) + \lambda_2 \dot{M}_c(\tau)\}/A_s] \int_{\tau_1}^t e^{-\lambda_2 \tau} d\tau - \lambda_2 \{N_c(\tau) + \lambda_1 \dot{M}_c(\tau)\}/A_s \int_{\tau_1}^t e^{-\lambda_2 \tau} d\tau$$

$$\dot{M}_c(t) = M_c(\tau_1) + \frac{1}{\lambda_1 - \lambda_2} [\{\lambda_1 N_c(\tau) + \lambda_2 \dot{M}_c(\tau)\} \int_{\tau_1}^t e^{-\lambda_2 \tau} d\tau - \{\lambda_2 N_c(\tau) + \lambda_1 \dot{M}_c(\tau)\} \int_{\tau_1}^t e^{-\lambda_2 \tau} d\tau]$$

ただし、 λ_1, λ_2 は入の 2 次方程式 $I_c \lambda^2 + (I_c - A_s^2 A_c - A_c I_s/A_s) \lambda - A_s^2 A_c = 0$ の 2 實根である。

$$\text{また、 } N_c(t) = \frac{1}{C} \int_{\tau_1}^t \{P_1(\tau) + \lambda_1 P_2(\tau)\} d\tau, \quad \dot{M}_c(t) = \frac{1}{C} \int_{\tau_1}^t \{P_1(\tau) + \lambda_2 P_2(\tau)\} d\tau$$

さらに $\dot{N}_c(\tau)$ および $\dot{M}_c(\tau)$ は式(6)で $\tau = \tau_1$ と置いて得られる連立方程式を解くことにより

$$\dot{N}_c(\tau) = \frac{1}{C^2} \gamma E_s g(\tau) M \frac{A_s}{I_s} \left(\eta^2 - \frac{I_c A_c}{I_s A_s} \right), \quad \dot{M}_c(\tau) = -\frac{1}{C^2} \gamma E_s g(\tau) M \frac{I_c}{I_s} \left((\eta + \frac{A_c}{A_s})^2 + \frac{A_c}{A_s} \cdot \frac{A_s^2 A_c}{I_s} \right)$$

と求められる。

6. 計算例

図-2 のごとき断面の全合成筋を対象に、クリアオーバーおよび乾燥収縮によるコンクリートの上縁、下縁応力 σ_{s1} , σ_{s2} 、および鋼筋の下縁、上縁応力 σ_{s1} , σ_{s2} を、まず近似解法Ⅰを用いて算定した。ただし、弾性定数を $E_s = 2.1 \times 10^6$

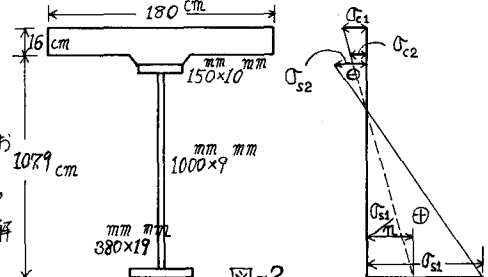


図-2

kg/cm^2 、 $\eta = 7$ とし、クリアオーバーは $\gamma = 0.026$

$g(\tau) = (\gamma \cdot 82/\tau + 0.9) \times 10^{-5}$ を用いた。またコンクリートの最終収縮ひずみを、

$S_o = 18 \times 10^{-5}$ とし、自由乾燥収縮ひずみは $S_n(t) = S_o [1 - e^{-(t-t_0)}]$ の時間的变化をするものと仮定した。図-3 は、死荷重モーメント $M = 56 t \cdot m$ による当初 ($t = \tau_1 = 28$ 日) の応力 $\sigma_q = -24.2 \text{ kg/cm}^2$, $\sigma_{s2} = -12.2 \text{ kg/cm}^2$, $\sigma_{s1} = 483 \text{ kg/cm}^2$, $\sigma_{s2} = -59 \text{ kg/cm}^2$ が時間的に変化する様子を示したもので、 σ_{s2} にクリアオーバーの影響が著しく表われていることがわかる。

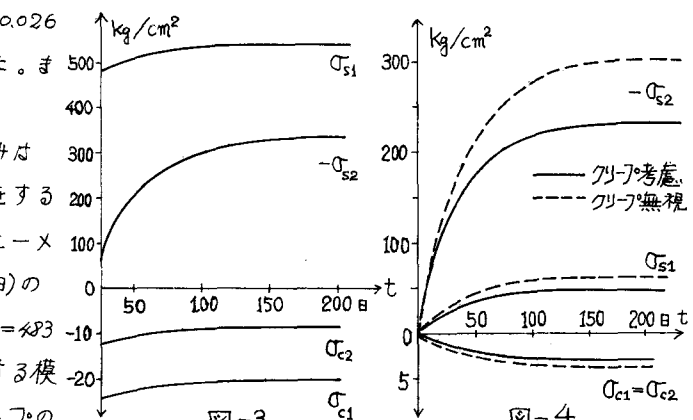


図-3

また載荷時のコンクリートの材令を 18 日, 28 日, 38 日と変化させて、各応力の t を無限大とした最終値を求めてみれば表-1 の結果がえられる。乾燥収縮の影響も、図-4 の時間変化曲線から明らかなるごとく、 σ_{s2} に顕著に表われている。なお、近似解法Ⅰおよび厳密解法による結果との比較吟味等については講演当日報告する。

[参考文献]

(1) N.Kh.Arutyunyan: Some Problems in the Theory of Creep Concrete Structures. Pergamon Press. 1966.

(2) 山崎・彦坂: 鋼鉄筋コンクリートばりのクリアオーバーによる乾燥収縮応力の解法. 第25回土木学会年次学術講演会講演概要. 昭和45年11月.

(3) 福田・安宅・友永: 橋梁工学. オーム社. 昭和42年6月

表-1 単位 kg/cm^2

τ_1	σ_{s1}	σ_{s2}	σ_{s1}	σ_{s2}
18日	-20.5	-8.4	544	-355
28日	-20.7	-8.7	540	-333
38日	-20.9	-8.8	538	-324